

УДК 534.222.2:535.2

ФИЗИКА

А. Е. ВОЙТЕНКО, И. Ш. МОДЕЛЬ, И. С. САМОДЕЛОВ

ЯРКОСТНАЯ ТЕМПЕРАТУРА УДАРНЫХ ВОЛН В КСЕНОНЕ И ВОЗДУХЕ

(Представлено академиком Я. Б. Зельдовичем 1 XI 1965)

При наблюдении свечения сильных ударных волн в газах было установлено, что яркостная температура фронта волны существенно ниже расчетных значений. Так, в работе одного из авторов (1) измеренные фотографическим способом температуры аргона, криптона и ксенона в ударной волне при скорости фронта 17 км/сек оказались в 2—3 раза ниже расчетных. Объяснение этого явления, развитое в работах Я. Б. Зельдовича и Ю. П. Райзера (2—6), заключается в экранировании свечения слоем газа, расположенного перед фронтом ударной волны,—

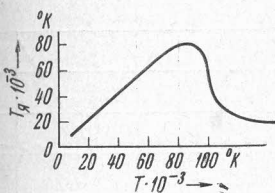


Рис. 1

Рис. 1. Зависимость яркостной температуры поверхности фронта ударной волны в воздухе от истинной температуры за фронтом (для красного света) (5, 6)

Рис. 2. Схема опыта по измерению скорости и температуры фронта ударной волны в газе (без соблюдения масштаба). 1 — заряд взрывчатого вещества с плоским фронтом детонационной волны; 2 — пластина (алюминий толщиной 1,5 мм); 3 — камера (сферический сегмент); 4 — диафрагма (слюда толщиной 15 μ); 5 — стеклянная трубка; 6 — реперные метки; 7 — окно (стекло толщиной 2 мм); 8 — зеркало; 9 — фотопрегистратор СФР (условно повернут на 90°); 10 — нейтральный светофильтр; 11 — красный светофильтр

исходящий от фронта поток излучения, поглощаясь в прилегающем к фронту слое газа, нагревает его и делает непрозрачным.

Из теоретического рассмотрения следует, что по мере увеличения амплитуды волны рост яркостной температуры, измеренной в области спектра, в которой газ прозрачен, отстает от истинной температуры за фронтом. После достижения определенной амплитуды яркостная температура снижается до некоторого предельного значения и дальнейшее увеличение амплитуды ударной волны не приводит к заметному изменению яркостной температуры. Вид зависимости яркостной температуры фронта ударной волны в воздухе от истинной температуры за фронтом, полученный из теоретических оценок (5, 6), изображен на рис. 1. Надо

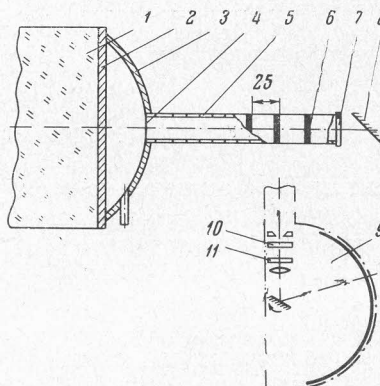


Рис. 2

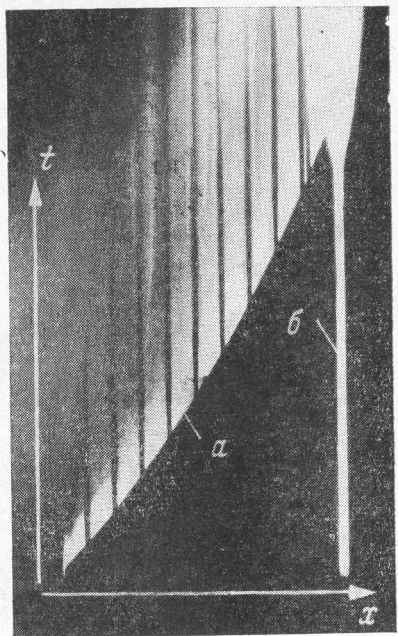


Рис. 3. Фотохронограмма опыта

бочем газе, заполняющем трубку 5, начальная скорость ударной волны достигалась изменением радиуса кривизны камеры 3. Максимальная скорость ударной волны составляет 37 км/сек при наполнении трубы ксеноном и 43 км/сек при наполнении воздухом ($P_0 = 760$ мм).

Регистрация осуществлялась щелевым фоторегистратором 9 типа СФР (8) через красный светофильтр КС-14 на фотопленке Изопанхром 180 ед. ГОСТ. В поле зрения прибора находились трубка 5 и зеркало 8, с помощью которого через окно 7 наблюдалось свечение фронта. Ось вращения зеркала фоторегистратора располагалась параллельно трубке. Типичная фотохронограмма процесса распространения ударной волны приведена на рис. 3. Скорость движения фронта в различные моменты времени определялась по наклону кривой a , представляющей собой развертку во времени распространения ударной волны вдоль трубы, а температура — по плотности почернения фотопленки в соответствующих точках полосы b путем сравнения с почернением фотопленки от эталонного источника с известной яркостной температурой. В качестве эталонного источника применялась ксеноновая лампа ИФК-50 (9), яркостная температура кото-

полагать, что и для других газов качественный характер зависимости должен иметь аналогичный вид.

Целью настоящей работы являлось экспериментальное установление зависимости яркостной температуры от амплитуды волны. В качестве рабочих газов были выбраны ксенон — поскольку за ударным фронтом в тяжелых инертных газах при той же скорости волны достигается более высокая температура, — и воздух, для которого имеется возможность сравнить полученные результаты с теоретическими оценками. Для измерения температуры и скорости ударной волны использовалась методика, аналогичная описанной в работе (4). Схема опытов изображена на рис. 2. Ударная волна большой амплитуды создавалась с помощью устройства, разработанного одним из авторов (7). Разгоняемая продуктами взрыва заряда 1 пластина 2 сжимает находящийся в полусферической камере 3 газ (водород, $P_0 = 760$ мм рт. ст.), который прорывает диафрагму 4 и возбуждает в ра-

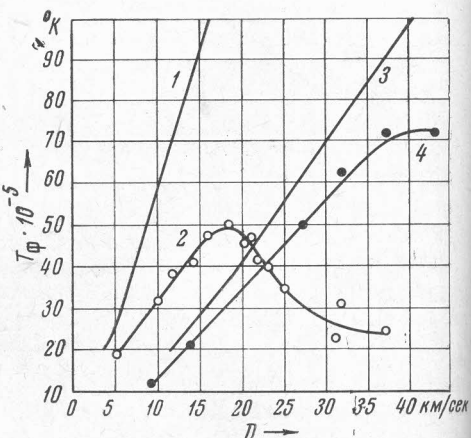


Рис. 4. Зависимость температуры от скорости ударной волны в ксеноне и воздухе ($P_0 = 760$ мм рт. ст.). 1 — температура за фронтом в ксеноне (теоретическая); 2 — яркостная температура поверхности фронта в ксеноне (экспериментальная); 3 — температура за фронтом в воздухе (теоретическая); 4 — яркостная температура поверхности фронта в воздухе (экспериментальная)

рой в использованном спектральном интервале ($\lambda_{\text{эфф}} = 650 \text{ м}\mu$) составляла $6300 \pm 200^\circ \text{ K}$ ⁽¹⁰⁾.

Результаты измерений представлены на рис. 4. Там же приведены значения температуры за фронтом ударной волны. Температура в ксеноне рассчитана из уравнений газодинамики с учетом ионизации и излучения⁽¹⁾, значения для воздуха взяты из работы В. В. Селиванова и И. Я. Шляпинтоха⁽¹¹⁾. Каждая экспериментальная точка рис. 4 есть среднее арифметическое из четырех опытов. Среднеквадратичная ошибка результата измерения температуры составляет приблизительно $\pm 15\%$.

Для ксенона удалось проследить переход яркостной температуры через максимум $T_{\text{макс}} \simeq 50\,000^\circ \text{ K}$ при $D = 18 \text{ км/сек}^*$ и спад до температуры $T_{\text{пред}} \simeq 23\,000^\circ \text{ K}$ при дальнейшем увеличении амплитуды волны. Максимальная яркостная температура воздушной ударной волны $T_{\text{макс}} \simeq 72\,000^\circ \text{ K}$, зарегистрированная в наших опытах, соответствует скорости $D = 43 \text{ км/сек}$. К сожалению, использованные для создания ударных волн устройства не позволяют получить большей скорости. Лишь в одном из опытов, который не удалось воспроизвести, была достигнута скорость 55 км/сек . Соответствующая этой скорости яркостная температура приблизительно $25\,000^\circ \text{ K}$ удовлетворительно согласуется с расчетной оценкой Ю. П. Райзера.

Поступило
22 IX 1965

ЦИТИРОВАННАЯ ЛИТЕРАТУРА

- ¹ И. Ш. Модель, ЖЭТФ, 32, в. 4, 714 (1957). ² Я. Б. Зельдович, ЖЭТФ, 32, в. 5, 1126 (1957). ³ Я. Б. Зельдович, Ю. П. Райзер, УФН, 63, в. 3, 613 (1957).
⁴ Ю. П. Райзер, ЖЭТФ, 32, в. 6, 1528 (1957). ⁵ Ю. П. Райзер, ЖЭТФ, 33, в. 1, 101 (1957). ⁶ Я. Б. Зельдович, Ю. П. Райзер, Физика ударных волн и высокотемпературных гидродинамических явлений, М., 1963. ⁷ А. Е. Войтенко, ДАН, 158, № 6, 1278 (1964). ⁸ Г. Л. Шнирман, А. С. Дубовик, П. Л. Кевлишили, Высокоскоростная фоторегистрирующая установка СФР, Изд. Инст. технико-экономической информации АН СССР, 1957. ⁹ И. С. Маршак, Приборы и техн. эксп., № 3, 5 (1962). ¹⁰ А. Е. Войтенко, Ф. О. Кузнецов, И. Ш. Модель, Приборы и техн. эксп., № 6, 121 (1962). ¹¹ В. В. Селиванов, И. Я. Шляпинтох, ЖФХ, 32, в. 3, 670 (1958).

* Расхождения между значениями температуры при скорости $D = 18 \text{ км/сек}$ в настоящей работе и статье⁽¹⁾ объясняются использованием окон из различных материалов. Как выяснилось, применявшиеся ранее окна из органического стекла под действием исходящего от фронта излучения теряют прозрачность, что приводит к занижению измеряемой температуры.